

《计算机模拟》



第12讲 - 生成式模拟(模型)

胡贤良

浙江大学数学科学学院

1. 生成式模拟(模型)

判别模型 & 生成模型

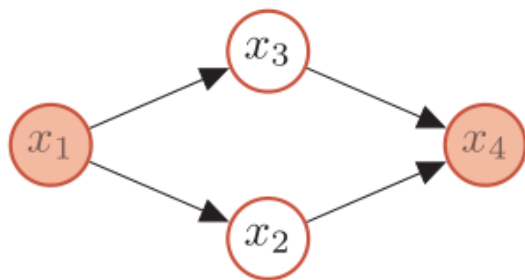


1. 生成模型的数据集一般没有和判别模型类似的标记
2. 生成模型也可以有标签，根据标签去生成相应类别的图像
3. 生成模型像是一种非监督学习，而判别模型是一种监督学习
4. 数学表示不同：
 - 判别模型： $p(y|x)$ 即给定观测 x 得到 y 的概率。
 - 生成模型： $p(x)$ 即观测 x 出现的概率。如果有标签则表示为: $p(x|y)$ 指定标签 y 生成 x 的概率

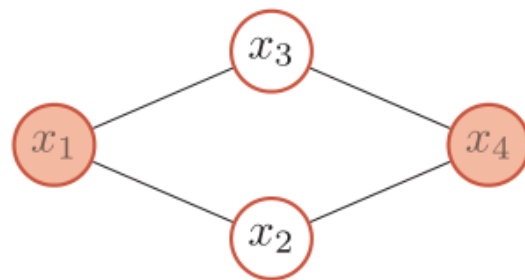
- 一个生成数据的模型，属于一种概率模型
- 通过学习，生成的数据分布 $p(x)$
- 解决三类问题：
 - 密度估计(Training)
 - 特征推断(Inference)
 - 生成新的数据(Sampling)

概率图模型

一种用图结构来描述多元随机变量之间条件独立关系的概率模型



(a) 有向图：贝叶斯网络



(b) 无向图：马尔可夫随机场



- 每个节点都对应一个随机变量，可以是观察变量、隐变量或未知参数
- 每个连接表示两个随机变量之间具有依赖关系

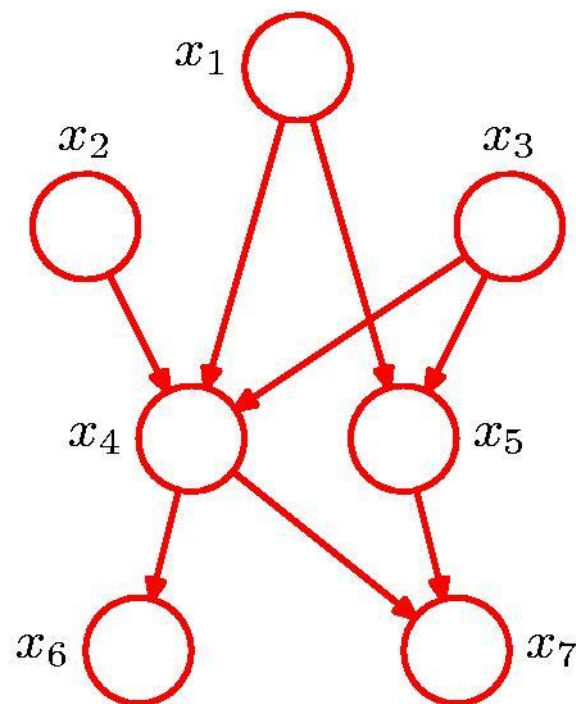
有向(Directed)图模型

也称为贝叶斯网络 (Bayesian Network), 或信念网络 (Belief Network)

定义 11.1 – 贝叶斯网络: 对于一个 K 维随机向量 \mathbf{X} 和一个有 K 个节点的有向非循环图 G , G 中的每个节点都对应一个随机变量, 每个连接 e_{ij} 表示两个随机变量 X_i 和 X_j 之间具有非独立的因果关系. 令 \mathbf{X}_{π_k} 表示变量 X_k 的所有父节点变量集合, $P(X_k|\mathbf{X}_{\pi_k})$ 表示每个随机变量的局部条件概率分布 (Local Conditional Probability Distribution). 如果 \mathbf{X} 的联合概率分布可以分解为每个随机变量 X_k 的局部条件概率的连乘形式, 即

$$p(\mathbf{x}) = \prod_{k=1}^K p(x_k|\mathbf{x}_{\pi_k}), \quad (11.8)$$

那么 (G, \mathbf{X}) 构成了一个贝叶斯网络.



$$\begin{aligned} p(x_1, \dots, x_7) &= p(x_1)p(x_2)p(x_3)p(x_4|x_1, x_2, x_3) \\ &\quad p(x_5|x_1, x_3)p(x_6|x_4)p(x_7|x_4, x_5) \end{aligned}$$

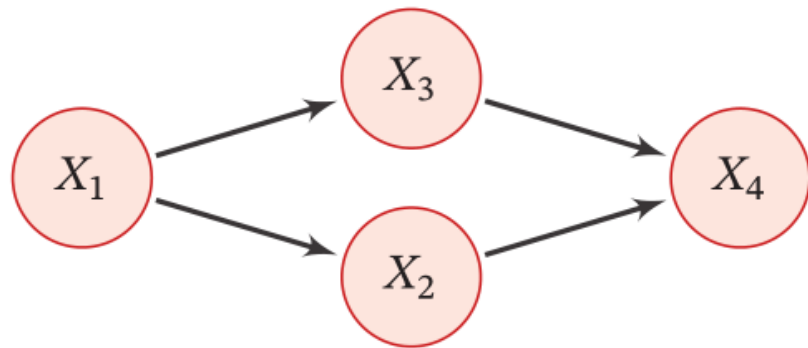
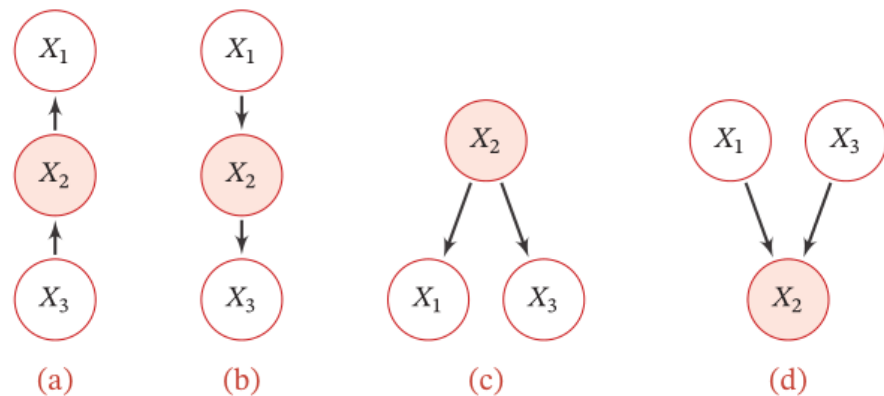
贝叶斯网络的性质

1. 条件独立性：如果两个节点是直接连接的，它们肯定是非条件独立的，是直接因果关系：其中，父节点是“因”，子节点是“果”。

2. 局部马尔可夫性质：每个随机变量在给定父节点的情况，条件独立于它的非后代节点。

- 利用局部马尔可夫性可以简化多元变量的联合概率，从而降低建模的复杂度。如右图所示的图，联合概率是4个局部条件概率的乘积，这样只需要 $1 + 2 + 2 + 4 = 9$ 个独立参数。

$$\begin{aligned} p(\mathbf{x}) &= p(x_1)p(x_2|x_1)p(x_3|x_1, x_2)p(x_4|x_1, x_2, x_3), \\ &= p(x_1)p(x_2|x_1)p(x_3|x_1)p(x_4|x_2, x_3), \end{aligned}$$

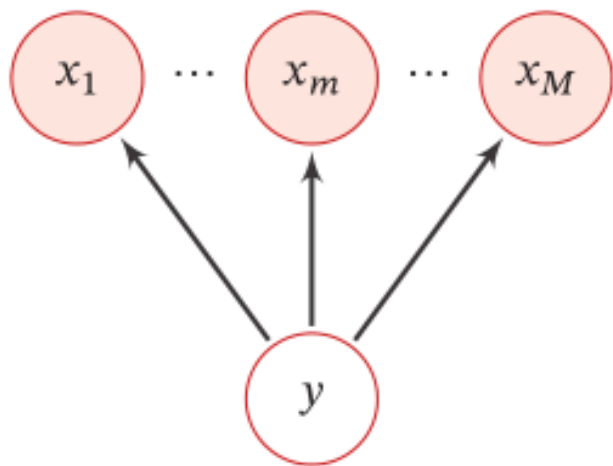


常见的有向图模型

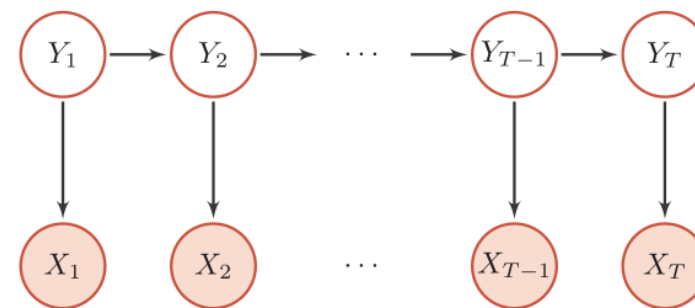
1. 朴素贝叶斯分类器

➤ 给定一个有 M 维特征的样本 \mathbf{x} 和类

$$p(y|\mathbf{x}; \theta) \propto p(y|\theta_c) \prod_{m=1}^M p(x_m|y; \theta_m)$$



2. Hidden Markov Model(HMM)



➤ HMM联合概率可以分解为

$$p(\mathbf{x}, \mathbf{y}; \theta) = \prod_{t=1}^T p(y_t|y_{t-1}, \theta_s) p(x_t|y_t, \theta_t)$$

转移概率

输出概率

有向图模型的学习/训练

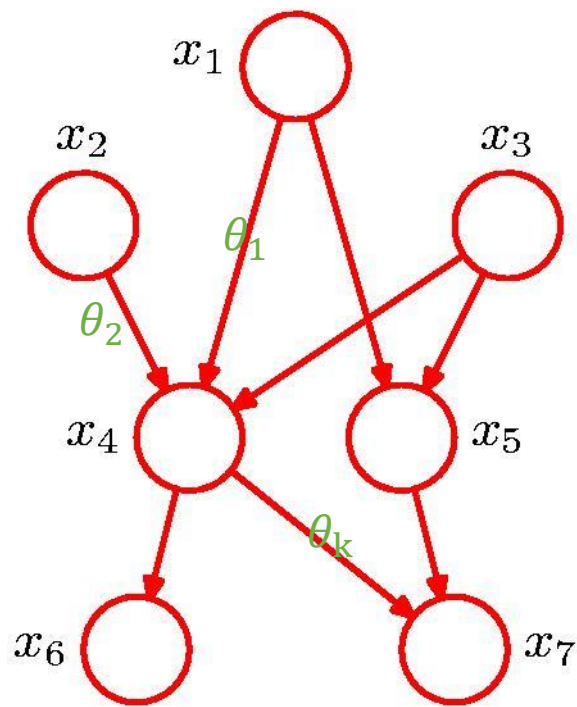
➤ 在贝叶斯网络中，所有变量 \mathbf{x} 的联合概率分布可以分解为每个随机变量 x_k 的局部条件概率的连乘形式。

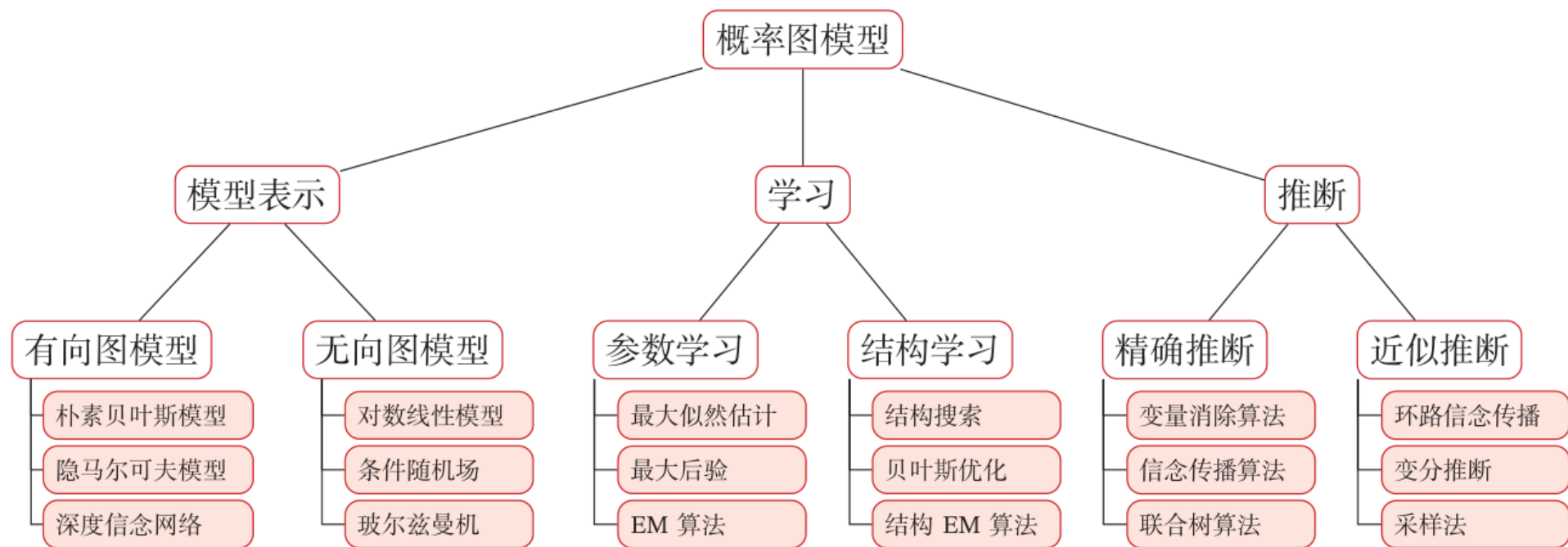
➤ 假设每个局部条件概率 $p(x_k | x_{\pi_k})$ 的参数为 θ_k ，则对数似然函数为

$$\begin{aligned}\mathcal{L}(\mathcal{D}; \theta) &= \frac{1}{N} \sum_{n=1}^N \log p(\mathbf{x}^{(n)}; \theta) \\ &= \frac{1}{N} \sum_{n=1}^N \sum_{k=1}^K \log p(x_k^{(n)} | x_{\pi_k}^{(n)}; \theta_k),\end{aligned}$$

➤ 分别最大化每个变量的条件似然来估计其参数

$$\theta_k = \arg \max \sum_{n=1}^N \log p(x_k^{(n)} | x_{\pi_k}^{(n)}; \theta_k)$$





通过学习给定数据的特征，获得其近似的概率分布，并用学习所得近似来生成新的数据。常见的有：

- **朴素Bayes方法**：常用于分类问题，计算出数据属于某个类别的概率
- **Gauss混合模型**：常用于聚类问题，计算数据属于多个Gauss分布的概率
- **隐Markov模型**：常用于序列建模，计算状态间或状态与数据间转移概率
- **变分自编码器**：常用于无监督学习(特征提取)，计算数据的“编码(特征)”
- **生成对抗网络**：深度神经网络时代的产品，通过求解minmax问题得到数据的概率分布

基于概率图的推断

主要问题：如何计算边际概率

$$p(y) = \sum_{x'} p(y|x')p(x')$$

① 精确推断

- 变量消去法 $p(x_1, x_4) = \sum_{x_2, x_3} p(x_1)p(x_2|x_1)p(x_3|x_1)p(x_4|x_2, x_3) = p(x_1) \sum_{x_3} p(x_3|x_1) \sum_{x_2} p(x_2|x_1)p(x_4|x_2, x_3)$
- 信念传播：在具有环路的图上依然使用和积算法，近似精确！
- 联合树算法

② 近似推断

- 采样法（MonteCarlo）通过模拟的方式来采集符合某个分布 $p(x)$ 的一些样本，并估计相关量
- 变分推断：引入一个比较简单的变分分布来近似条件概率，然后通过迭代的方法进行计算

贝叶斯公式： 对于给定的 x ，分布 z 关于 x 的后验分布可以表示为：

$$p(z|x) = \frac{p(z, x)}{p(x)} = \frac{p(x|z)p(z)}{p(x)}$$

引入全概率公式 $p(x) = \int p(x|z)p(z)dz$ ，可以进一步表示为：

$$p(z|x) = \frac{p(x|z)p(z)}{p(x)} = \frac{p(x|z)p(z)}{\int p(x|z)p(z)dz}$$

变分推断

$$\operatorname{argmax}_Q \left(\int Q(Z) \log(P(X, Z)) dZ - \int Q(Z) \log(Q(Z)) dZ \right)$$

对于需要进行训练的隐含变量 Z 和观察值变量 $X = \{x_1, x_2, \dots, x_N\}$, 作出合理的模型假设 $P(Z, X)$; 构造关于 Z 的概率分布 $Q(Z; \mathbf{V})$, 不断更新 Q 的参数 \mathbf{V} , 使得 $Q(Z; \mathbf{V})$ 接近 $P(Z|X)$; 给出优化问题为最小化后验与近似分布的KL散度。

由公式: $p(X) = \frac{p(Z, X)}{p(Z|X)}$, 等式两边同时取对数有:

$$\log(P(X)) = \log(P(Z, X)) - \log(P(Z|X))$$

引入 $Q(Z)$, 得:

$$\log(P(X)) = \log(P(Z, X)) - \log(Q(Z)) - (\log(P(Z|X)) - \log(Q(Z))) = \log\left(\frac{P(Z, X)}{Q(Z)}\right) - \log\left(\frac{P(Z|X)}{Q(Z)}\right)$$

关于 $Q(Z)$ 取期望:

$$\begin{aligned} \int Q(Z) \log(P(X)) dZ &= \int Q(Z) \log\left(\frac{P(Z, X)}{Q(Z)}\right) dZ - \int Q(Z) \log\left(\frac{P(Z|X)}{Q(Z)}\right) dZ \\ &= \underbrace{\int Q(Z) \log(P(Z, X)) dZ - \int Q(Z) \log(Q(Z)) dZ}_{\text{ELBO}(\mathbf{V})} - \underbrace{\int Q(Z) \log\left(\frac{P(Z|X)}{Q(Z)}\right) dZ}_{\text{KL}(Q(Z) || P(Z|X))} \end{aligned}$$

优化问题: 最小化KL距离 \longrightarrow $P(Z|X)$ 难以计算 \longrightarrow 优化问题: 最大化ELBO (上界为 $\log(P(X))$)

生成模型实例：自编码器(编码器 + 解码器)

➤ 一种典型的生成模型，通过无监督学习使输出尽可能地和输入相同，从而学习数据的分布

➤ 工作流程：

- 利用编码器 对 x 进行编码，即

$$h = f(x),$$

形成所对应的编码 z

- 运用码器进行解码，获得重建向量 $x' = g(f(x))$

➤ 学习目标(损失函数): $\min L(x, x')$

➤ 编码器的目标是使得: $x' \approx x$ --- 重建、降维、不相等!

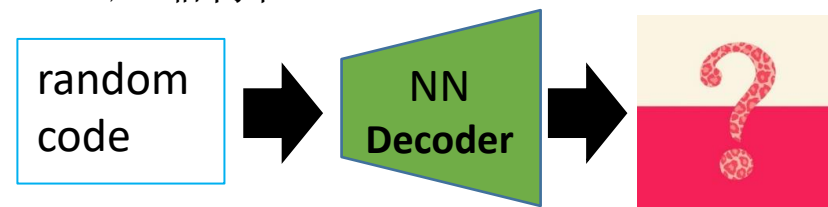
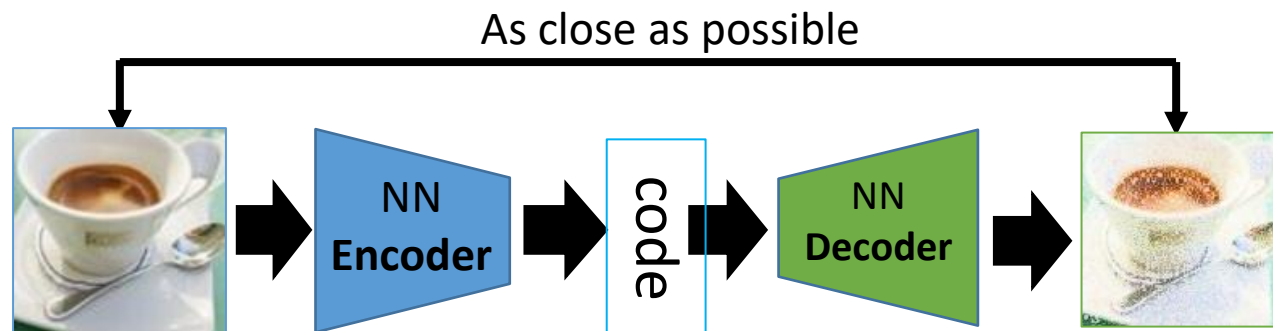
➤ (线性)编码:

$$x = \sum_{m=1}^M z_m a_m$$

字典 (dictionary)

编码 (encoding)

$$= Az,$$



$$\begin{bmatrix} x \end{bmatrix} = \begin{bmatrix} A \end{bmatrix} \begin{bmatrix} z \end{bmatrix}$$

自编码器 – PyTorch实现示例一瞥

```
class autoencoder1(nn.Module):
    def __init__(self, in_features, hidden_features):
        super(autoencoder1, self).__init__()
        self.encoder = nn.Sequential(nn.Linear(in_features, hidden_features), nn.ReLU(True))
        self.decoder = nn.Sequential(nn.Linear(hidden_features, in_features), nn.Sigmoid())

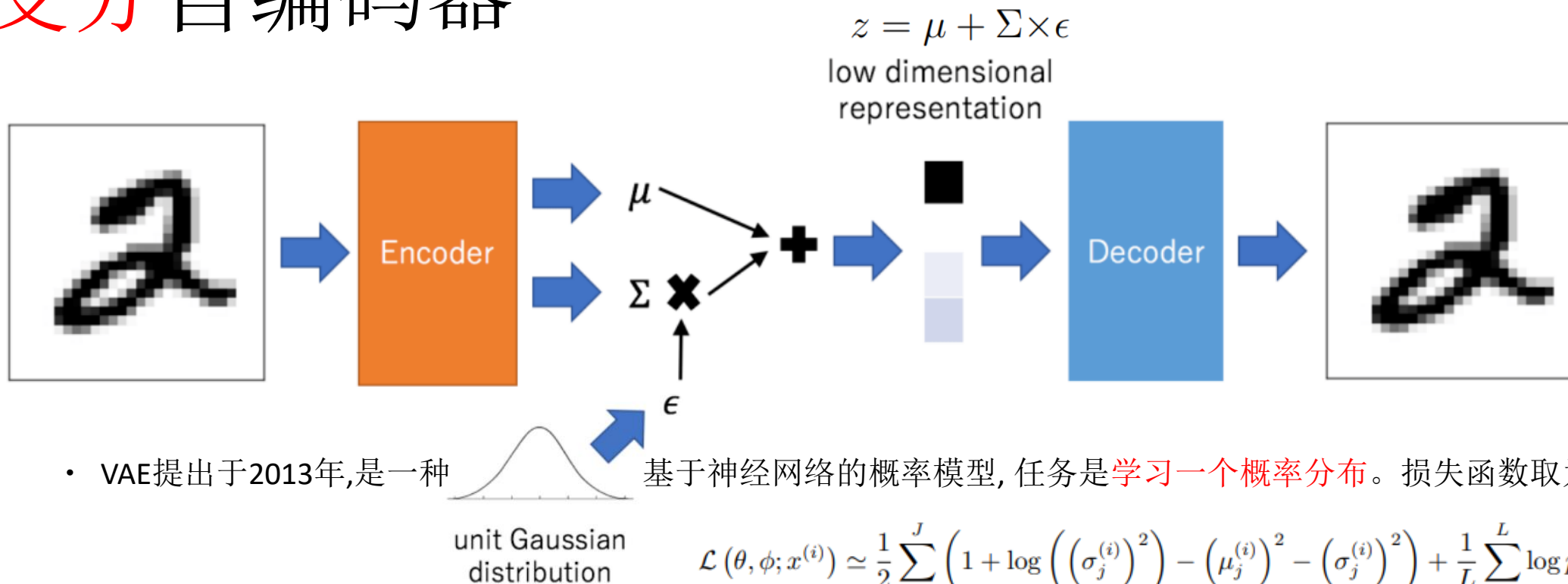
    def forward(self, x):
        en = self.encoder(x)
        de = self.decoder(en)
        return en, de
```

```
class autoencoder2(nn.Module):
    def __init__(self, in_features, hidden_features):
        super(autoencoder2, self).__init__()

        self.encoder = nn.Sequential(
            nn.Conv2d(in_features, hidden_features, kernel_size = 3, padding = 1),
            nn.ReLU(True), nn.MaxPool2d(kernel_size = 2), nn.ReLU(True))
        self.decoder = nn.Sequential(
            nn.ConvTranspose2d(hidden_features, hidden_features, kernel_size = 2, stride=2),
            nn.ReLU(True),
            nn.ConvTranspose2d(hidden_features, in_features, kernel_size=3, padding = 1),
            nn.Tanh())

    def forward(self, x):
        en = self.encoder(x)
        de = self.decoder(en)
        return en, de
```

变分自编码器



- VAE提出于2013年,是一种基于神经网络的概率模型,任务是学习一个概率分布。损失函数取为:

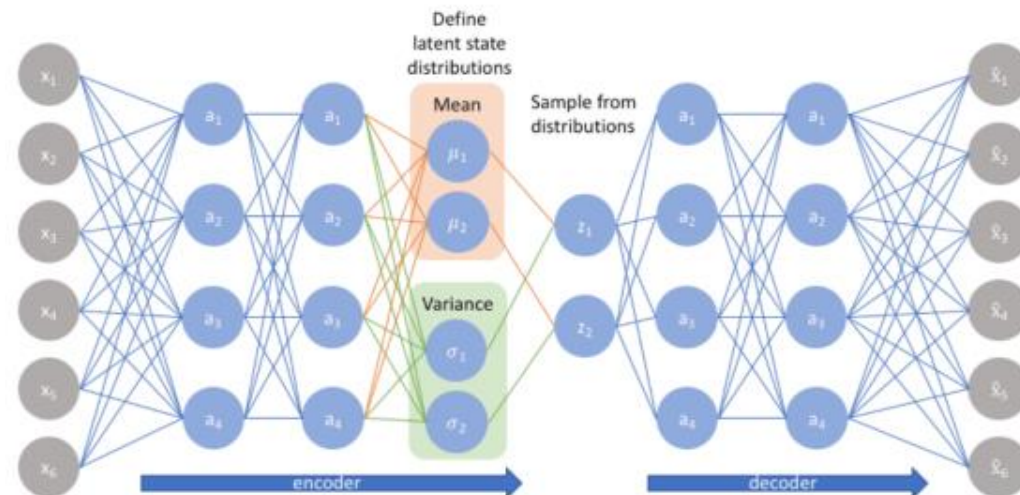
$$\mathcal{L}(\theta, \phi; x^{(i)}) \simeq \frac{1}{2} \sum_{j=1}^J \left(1 + \log \left(\left(\sigma_j^{(i)} \right)^2 \right) - \left(\mu_j^{(i)} \right)^2 - \left(\sigma_j^{(i)} \right)^2 \right) + \frac{1}{L} \sum_{l=1}^L \log p_{\theta} \left(x^{(i)} \mid z^{(i,l)} \right),$$

- VAE 在普通的 AE 中加入了一些限制, 要求产生的隐变量遵循高斯分布 (理论上可以是任意分布)
 - 用来衡量输出与输入之间的差距
 - 用KL散度来表示 $q(z|x)$ 和 $p(z)$ 之间的相似程度

- 目的: 使得网络能够在不给定原始图像的基础上生成新的图像
- 是一类基于自编码器结构和变分贝叶斯推断的深度生成模型。

VAE实现概览

```
class VAE(nn.Module):  
    def __init__(self, in_features, hidden_features, out_features, n_num):  
        super(VAE, self).__init__()  
  
        self.encoder = nn.Sequential(nn.Linear(in_features, hidden_features), nn.ReLU(True))  
        self.mean = nn.Linear(hidden_features, n_num)  
        self.logvar = nn.Linear(hidden_features, n_num)  
  
        self.decoder = nn.Sequential(nn.Linear(n_num, hidden_features), nn.ReLU(True), nn.Linear(hidden_features,  
            out_features), nn.Tanh())  
  
    def forward(self, x):  
        x = self.encoder(x)  
        x_mean = self.mean(x)  
        x_logvar = self.logvar(x)  
        std = 0.5 * torch.exp(x_logvar)  
        z = torch.randn(std.size()) * std + x_mean  
        z = self.decoder(z)  
        return z, x_mean, x_logvar
```



```
class VAE_Loss(_Loss):  
    def __init__(self, reduction='sum'):  
        super(VAE_Loss, self).__init__()  
        self.bce_loss = torch.nn.BCELoss(reduction = reduction)  
  
    def forward(self, input, target, x_mean, x_logvar):  
        loss1 = self.bce_loss(input, target)  
        loss2 = self.KL_divergence(x_mean, x_logvar)  
        return loss1 + loss2  
  
    def KL_divergence(x_mean, x_logvar):  
        return - 0.5 * torch.sum(1 + x_logvar - torch.exp(x_logvar) - x_mean**2)
```


变分下界 (Evidence Lower Bound, ELOB)

$$L_b = \int q(z|x) \log \frac{p(x, z)}{q(z|x)} dz$$

$$= \int q(z|x) \log \frac{p(z)p(x|z)}{q(z|x)} dz$$

$$= \int q(z|x) \log \frac{p(z)}{q(z|x)} dz + \int q(z|x) \log p(x|z) dz$$

$$= - \int q(z|x) \log \frac{q(z|x)}{p(z)} dz + \int q(z|x) \log p(x|z) dz$$

$$= -D_{KL}(q(z|x)||p(z)) + E_{z \sim q(z|x)} \log p(x|z)$$

两个正态分布之间的 KL 散度为:

$$D_{KL}(N(\mu_1, \sigma_1^2)||N(\mu_2, \sigma_2^2)) = \log \frac{\sigma_2}{\sigma_1} + \frac{\sigma_1^2 + (\mu_1 - \mu_2)^2}{2\sigma_2^2} - \frac{1}{2}$$

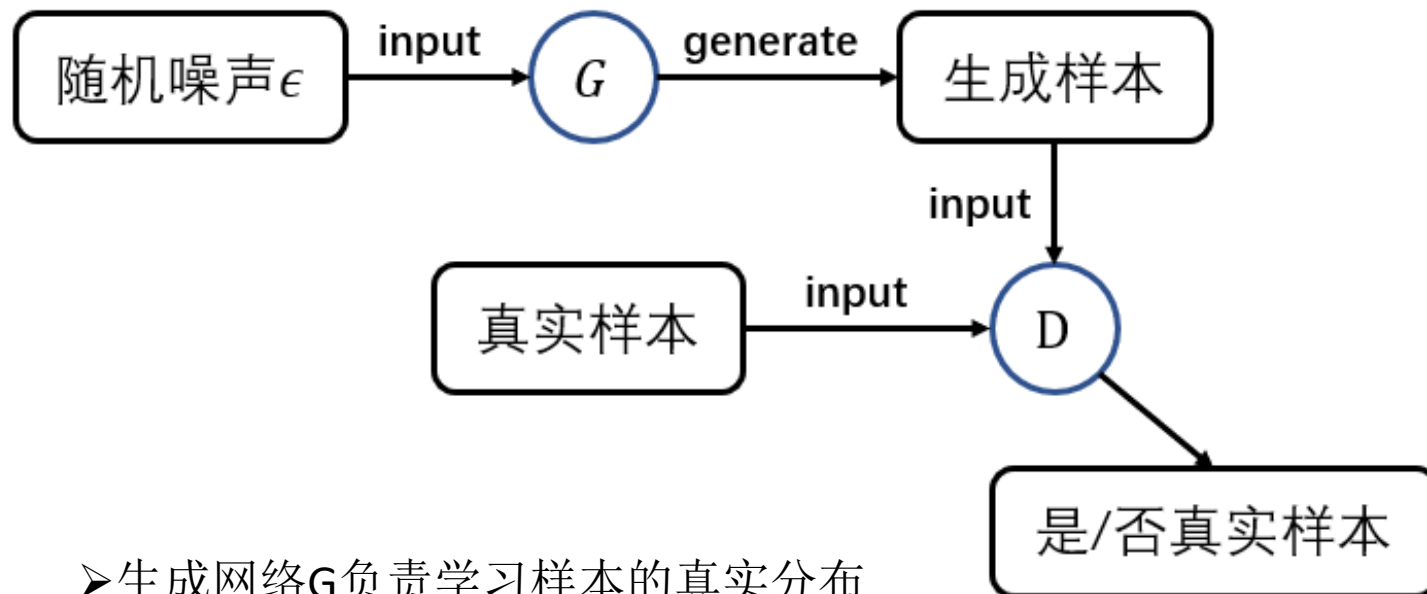
其中 $p(z) \sim N(0, 1)$, 定义 $p(z|x) \sim N(\mu, \sigma^2)$, 则

$$D_{KL}(q(z|x)||p(z)) = -\frac{1}{2}(\log \sigma^2 - \sigma^2 - \mu^2 + 1)$$

• 此损失函数需要权衡两部分:

1. 计算编码器生成的 z 的分布 $q(z|x)$ 是否与真实分布 $p(z)$ (高斯分布) 足够接近, 即 隐变量 z 是否服从高斯分布。
2. 最大化 $E_{z \sim q(z|x)} \log p(x|z)$, 即保证生成数据的准确性。

2 GAN

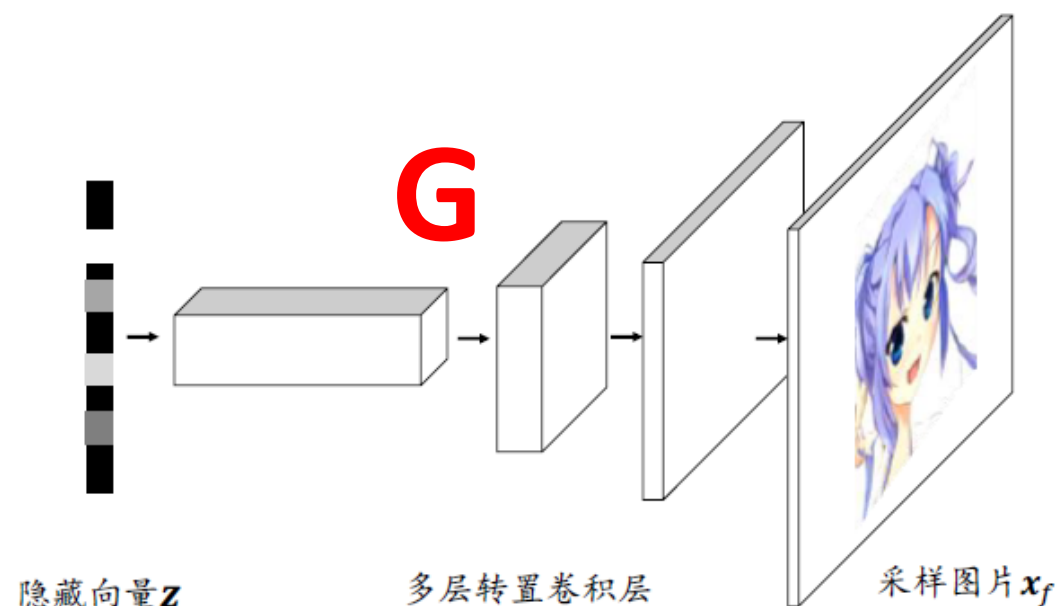
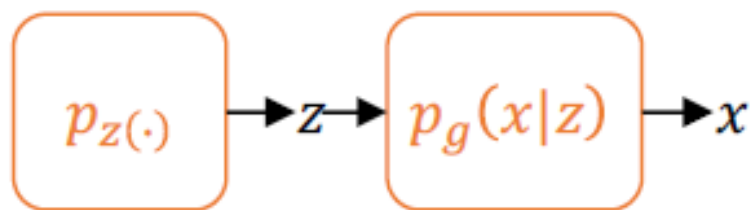


- 生成网络G负责学习样本的真实分布
- 判别网络D负责将生成网络采样的样本与真实样本区分开来

"Generative Adversarial Networks." Ian J. Goodfellow, Jean Pouget-Abadie, Mehdi Mirza, Bing Xu, David Warde-Farley, Sherjil Ozair, Aaron Courville, Yoshua Bengio. ArXiv 2014. <https://github.com/goodfeli/adversarial>

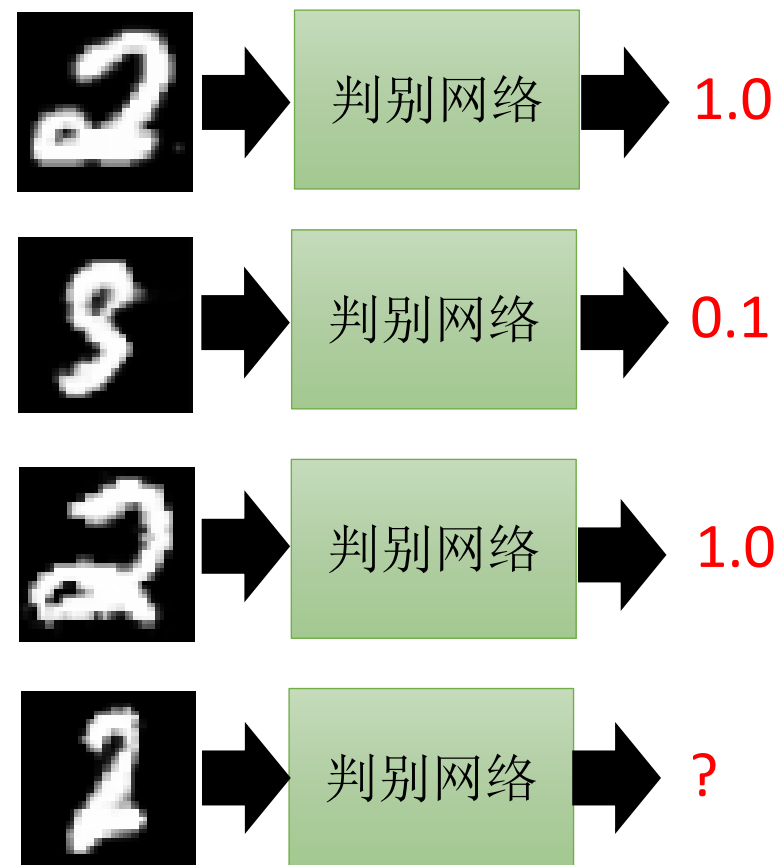
生成网络(Generator)

- 与自编码器的Decoder功能类似，从先验分布 $p_z(\cdot)$ 中采样隐藏变量 $x \sim p_z(\cdot)$ ：
通过生成网络G参数化的 $p_g(x|z)$ 分布
获得生成样本 $x \sim p_g(x|z)$



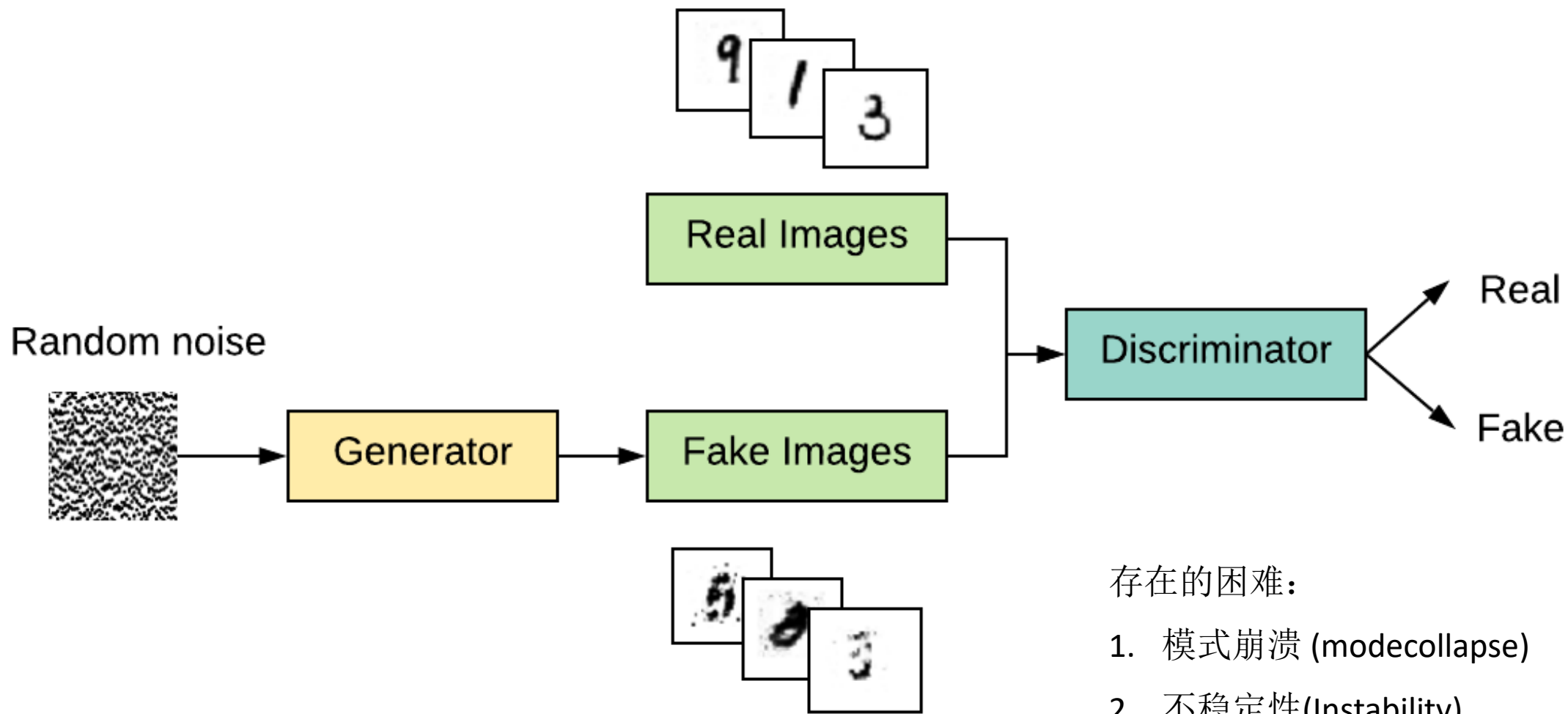
判别网络(Discriminator)

- 本质上是一个二分类网络：接受输入样本 x ，包含了采样自真实数据分布 $p_r(\cdot)$ 的样本 $x_r \sim p_r(\cdot)$ ，也包含了采样自生成网络的假样本 $x_f \sim p_g(x|z)$ ， x_r 和 x_f 共同组成了判别网络的训练集
 - 把所有真实样本 x_r 的标签标注为真(1)
 - 所有生成网络产生的样本 x_f 标注为假(0)
- 通过最小化判别网络预测值与标签之间的误差来优化判别网络参数. 即所谓：判别网络的输入则为真实样本或生成网络的输出，其目的是将生成网络的输出从真实样本中尽可能分辨出来。



1. 手写数字生成器

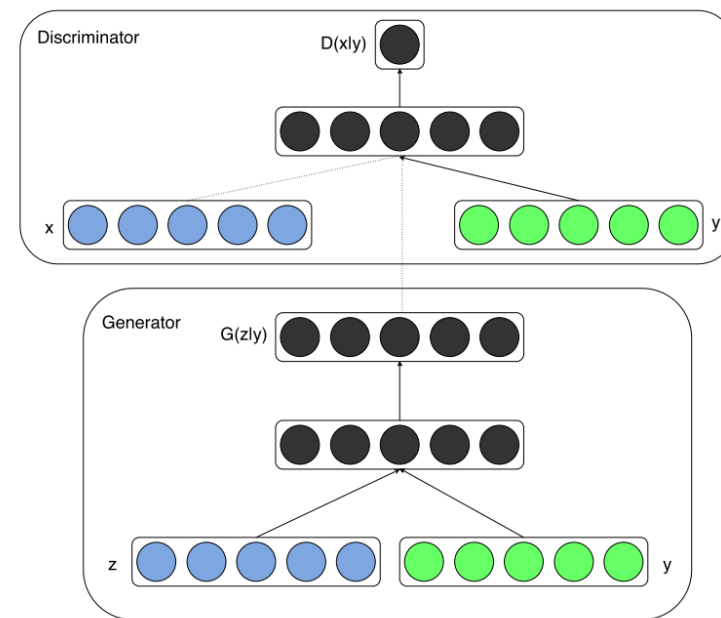
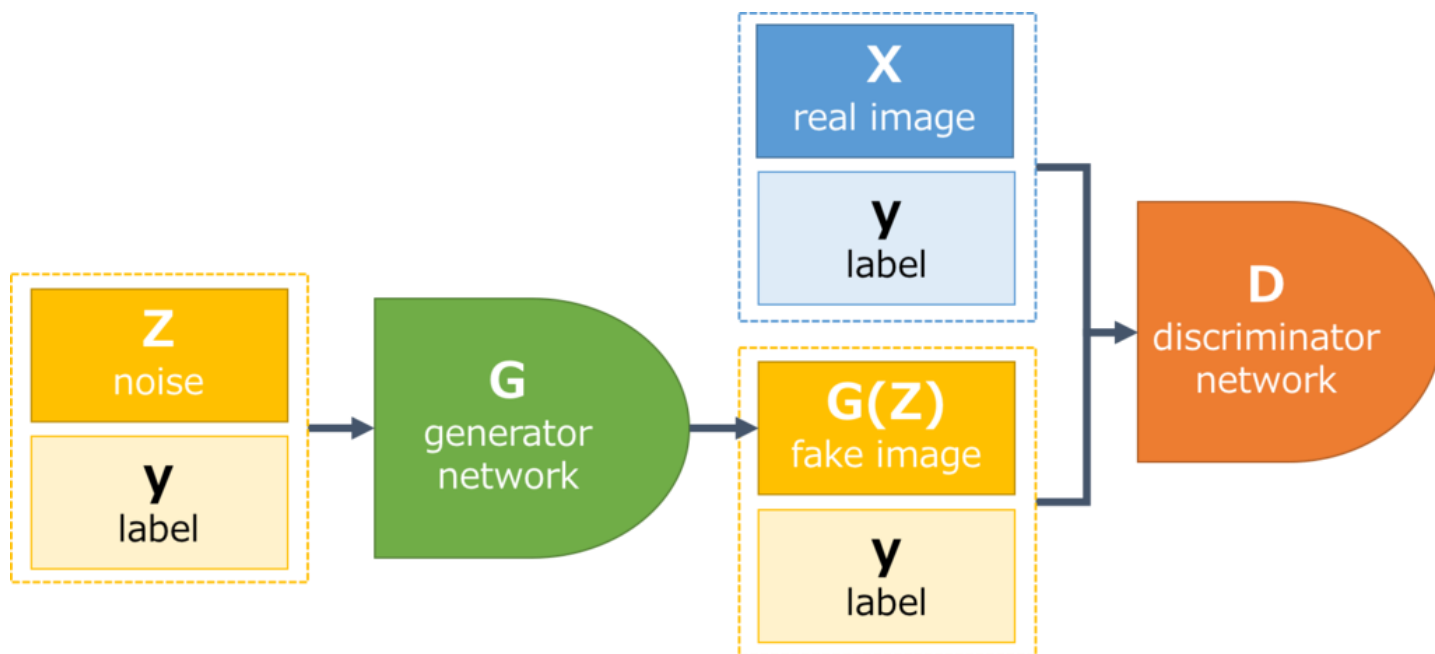
参考 [demo_gan_mnist.ipynb](#)



存在的困难:

1. 模式崩溃 (mode collapse)
2. 不稳定性 (Instability)

2. Conditional GAN

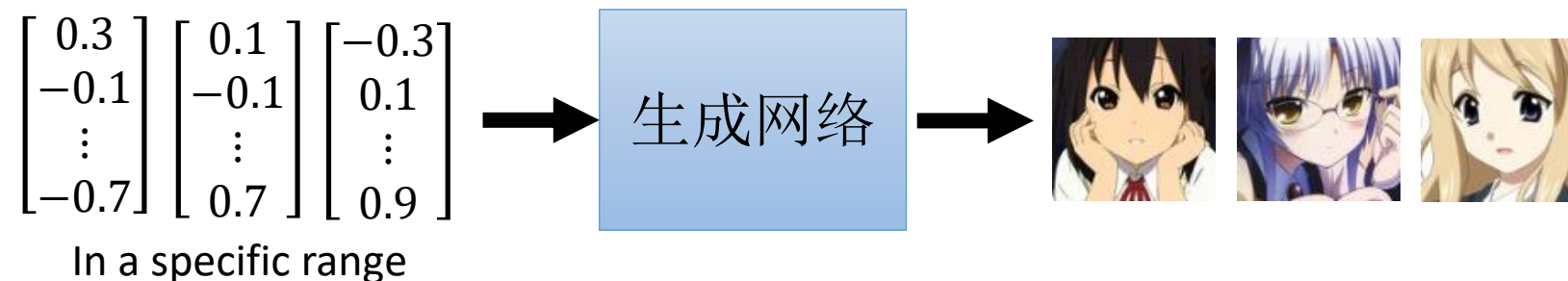


➤ [demo_cgan_mnist.ipynb](#)

➤ 需要训练很长时间！

潜在应用：条件生成

- 根据条件针对性的生成数据



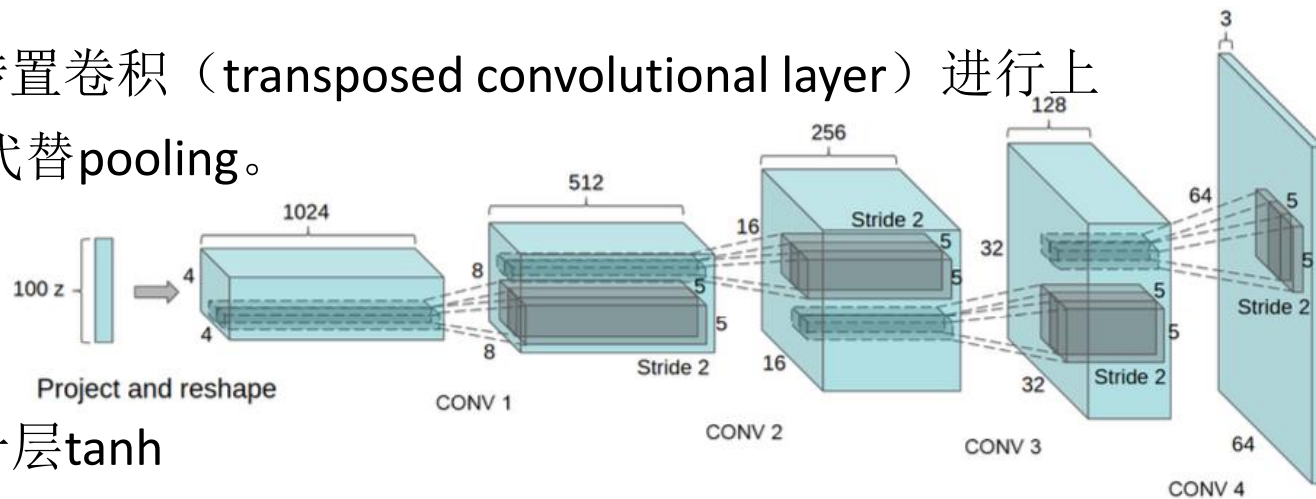
“Girl with red hair and red eyes”

“Girl with yellow ribbon”



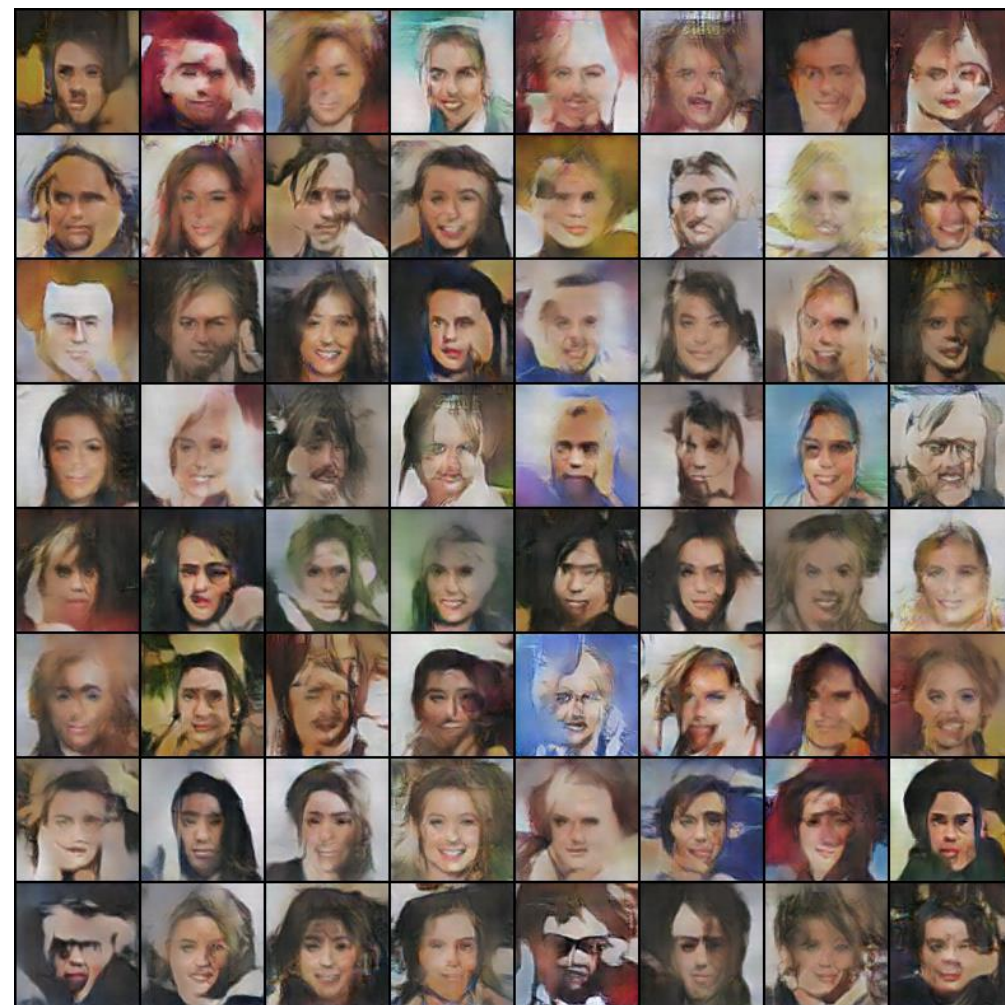
3. 卷积GAN

- 针对图像生成应用，用CNN代替MLP，逻辑不变，DCGAN
- 对卷积神经网络的结构做了一些改变，以提高样本的质量和收敛的速度
 - 取消所有pooling层。G网络中使用转置卷积（transposed convolutional layer）进行上采样，D网络中用加入stride的卷积代替pooling。
 - 在D和G中均使用batch normalization
 - 去掉FC层，使网络变为全卷积网络
 - G网络中用ReLU为激活函数，最后一层tanh
 - D网络中使用LeakyReLU作为激活函数
- 参考论文： Unsupervised Representation Learning with Deep Convolutional Generative Adversarial Networks, Arxiv:1511.06434 .



卷积GAN案例

1. 参考gen_face/demo_genface.ipynb

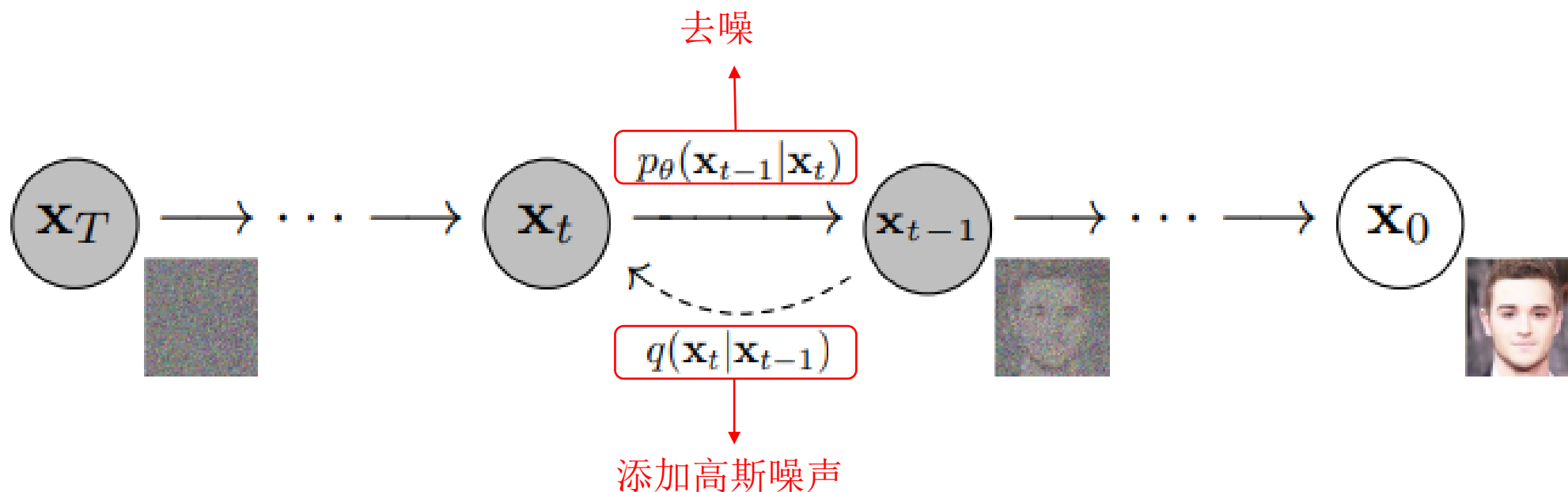


<https://zhuanlan.zhihu.com/p/24767059>

3. 扩散生成

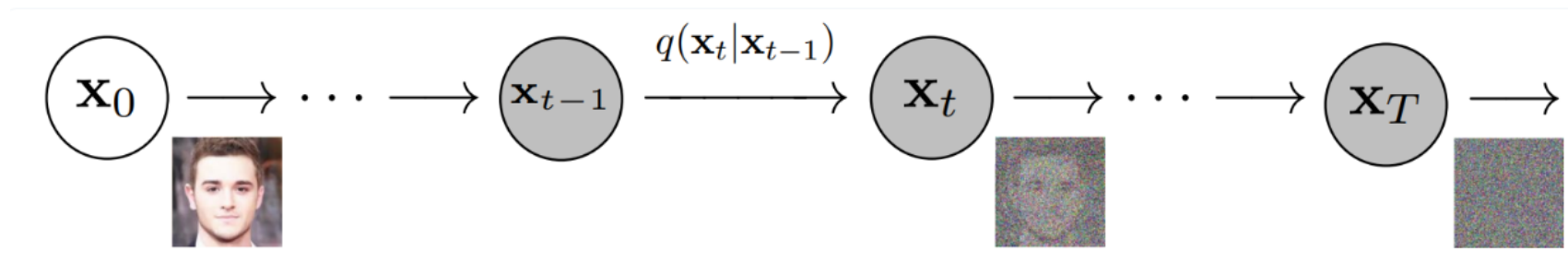
扩散模型 (Diffusion model)

- 扩散模型是生成模型，用于生成与训练数据相似的数据
- 工作原理：
 1. 使用缓慢增加的噪声顺序破坏训练数据（正向过程）
 2. 学习扭转这种破坏以形成数据的生成模型（反向过程）



扩散模型前向(加噪)过程

- 扩散模型可以从几个不同角度理解：基于 Markov 链、基于分数匹配、基于微分方程等。常用如下示意图表示：



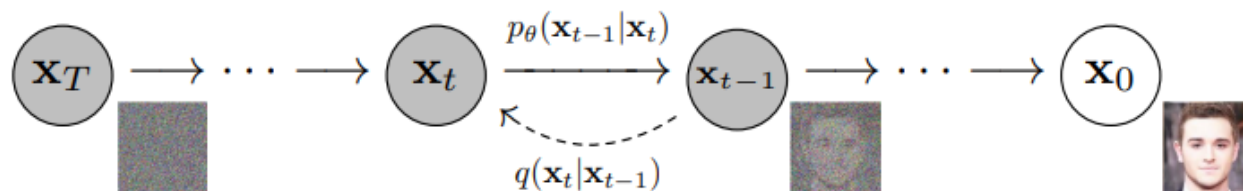
前向传播过程： $\mathbf{x}_t = \sqrt{\alpha_t} \mathbf{x}_{t-1} + \sqrt{1 - \alpha_t} \epsilon_1$ ① 其中 $\alpha_t = 1 - \beta_t$, β_t 0.0001 \rightarrow 0.002

$$\mathbf{x}_{t-1} = \sqrt{\alpha_{t-1}} \mathbf{x}_{t-2} + \sqrt{1 - \alpha_{t-1}} \epsilon_2 \quad \text{②}$$

② 代入 ① 即有 $\mathbf{x}_t = \sqrt{\alpha_t \alpha_{t-1}} \mathbf{x}_{t-2} + \sqrt{1 - \alpha_t \alpha_{t-1}} \bar{\epsilon}_2$

$$= \sqrt{\bar{\alpha}_t} \mathbf{x}_0 + \sqrt{1 - \bar{\alpha}_t} \bar{\epsilon}_t \longrightarrow \text{有初始的 } \mathbf{x}_0 \text{ 就可以得到任意 } \mathbf{x}_t$$

扩散模型反向(去噪)过程

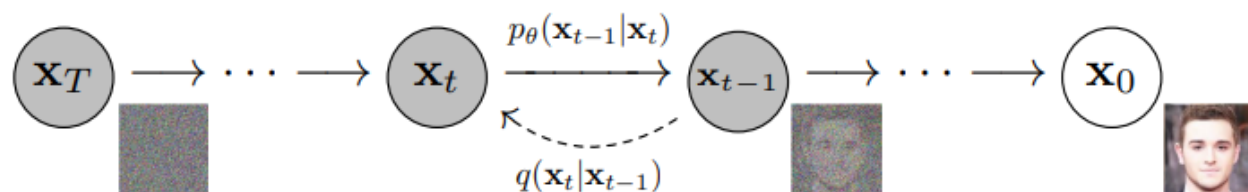


贝叶斯公式:

$$q(x_{t-1}|x_t, x_0) = q(x_t|x_{t-1}, x_0) \frac{q(x_{t-1}|x_0)}{q(x_t|x_0)}$$

$$\left. \begin{aligned} q(x_t|x_{t-1}, x_0) &= \sqrt{\alpha_t}x_{t-1} + \sqrt{1 - \alpha_t}\epsilon \\ q(x_{t-1}|x_0) &= \sqrt{\bar{\alpha}_{t-1}}x_0 + \sqrt{1 - \bar{\alpha}_{t-1}}\epsilon \\ q(x_t|x_0) &= \sqrt{\bar{\alpha}_t}x_0 + \sqrt{1 - \bar{\alpha}_t}\epsilon \end{aligned} \right\} q(x_{t-1}|x_t, x_0) \propto \exp\left(-\frac{1}{2}\left(\frac{(x_t - \sqrt{\alpha_t}x_{t-1})^2}{\beta_t} + \frac{(x_{t-1} - \sqrt{\bar{\alpha}_{t-1}}x_0)^2}{1 - \bar{\alpha}_{t-1}} + \frac{(x_t - \sqrt{\bar{\alpha}_t}x_0)^2}{1 - \bar{\alpha}_t}\right)\right)$$

扩散模型去噪过程



$$q(x_{t-1}|x_t, x_0) \propto \exp\left(-\frac{1}{2}\left(\frac{(x_t - \sqrt{\alpha_t}x_{t-1})^2}{\beta_t} + \frac{(x_{t-1} - \sqrt{\bar{\alpha}_{t-1}}x_0)^2}{1 - \bar{\alpha}_{t-1}} + \frac{(x_t - \sqrt{\bar{\alpha}_t}x_0)^2}{1 - \bar{\alpha}_t}\right)\right)$$

$$= \exp\left(-\frac{1}{2}\left(\left(\frac{\alpha_t}{\beta_t} + \frac{1}{1 - \bar{\alpha}_{t-1}}\right)x_{t-1}^2 - \left(\frac{2\sqrt{\alpha_t}}{\beta_t}x_t + \frac{2\sqrt{\bar{\alpha}_{t-1}}}{1 - \bar{\alpha}_{t-1}}x_0\right)x_{t-1} + C(x_t, x_0)\right)\right)$$

常数

$$\text{而 } \exp\left(-\frac{(x - \mu)^2}{2\sigma^2}\right) = \exp\left(-\frac{1}{2}\left(\frac{1}{\sigma^2}x^2 - \frac{2\mu}{\sigma^2}x + \frac{\mu^2}{\sigma^2}\right)\right)$$

→

$$\mu_t(x_t, x_0) = \frac{\sqrt{\alpha_t}(1 - \bar{\alpha}_{t-1})}{1 - \bar{\alpha}_t}x_t + \frac{\sqrt{\bar{\alpha}_{t-1}}\beta_t}{1 - \bar{\alpha}_t}x_0$$

$$= \frac{1}{\sqrt{\alpha_t}}\left(x_t - \frac{\beta_t}{1 - \bar{\alpha}_t}\epsilon_t\right)$$

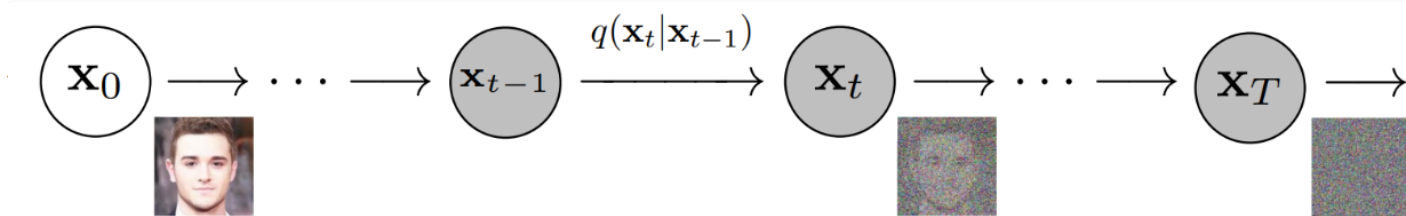
而 $x_0 = \frac{1}{\sqrt{\alpha_t}}(x_t - \sqrt{1 - \bar{\alpha}_t}\epsilon_t)$

扩散模型训练采样过程

Algorithm 1 Training

- 1: **repeat**
- 2: $\mathbf{x}_0 \sim q(\mathbf{x}_0)$
- 3: $t \sim \text{Uniform}(\{1, \dots, T\})$
- 4: $\epsilon \sim \mathcal{N}(\mathbf{0}, \mathbf{I})$
- 5: Take gradient descent step on

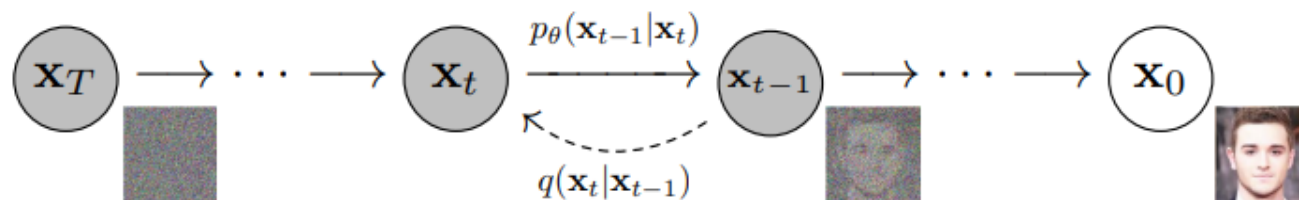
$$\nabla_{\theta} \|\epsilon - \epsilon_{\theta}(\sqrt{\bar{\alpha}_t} \mathbf{x}_0 + \sqrt{1 - \bar{\alpha}_t} \epsilon, t)\|^2$$
- 6: **until** converged



$$\mathbf{x}_t = \sqrt{\bar{\alpha}_t} \mathbf{x}_0 + \sqrt{1 - \bar{\alpha}_t} \bar{\epsilon}_t$$

Algorithm 2 Sampling

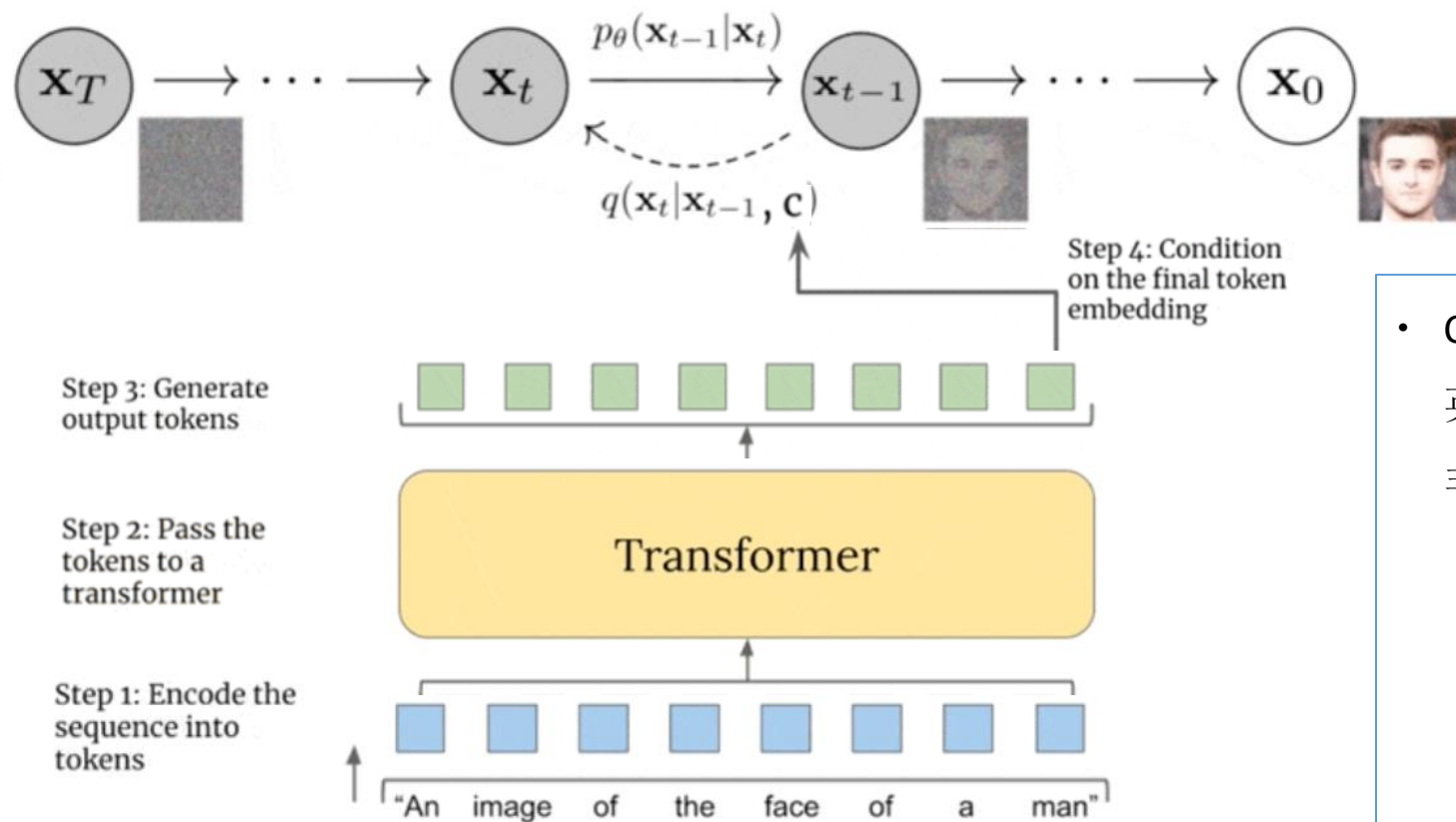
- 1: $\mathbf{x}_T \sim \mathcal{N}(\mathbf{0}, \mathbf{I})$
- 2: **for** $t = T, \dots, 1$ **do**
- 3: $\mathbf{z} \sim \mathcal{N}(\mathbf{0}, \mathbf{I})$ if $t > 1$, else $\mathbf{z} = \mathbf{0}$
- 4: $\mathbf{x}_{t-1} = \frac{1}{\sqrt{\alpha_t}} \left(\mathbf{x}_t - \frac{1 - \alpha_t}{\sqrt{1 - \bar{\alpha}_t}} \epsilon_{\theta}(\mathbf{x}_t, t) \right) + \sigma_t \mathbf{z}$
- 5: **end for**
- 6: **return** \mathbf{x}_0



$$\mu_t(x_t, x_0) = \frac{1}{\sqrt{\alpha_t}} \left(x_t - \frac{\beta_t}{1 - \bar{\alpha}_t} \epsilon_t \right)$$

典型应用：文生图

GLIDE: Towards Photorealistic Image Generation and Editing with Text-Guided Diffusion Models

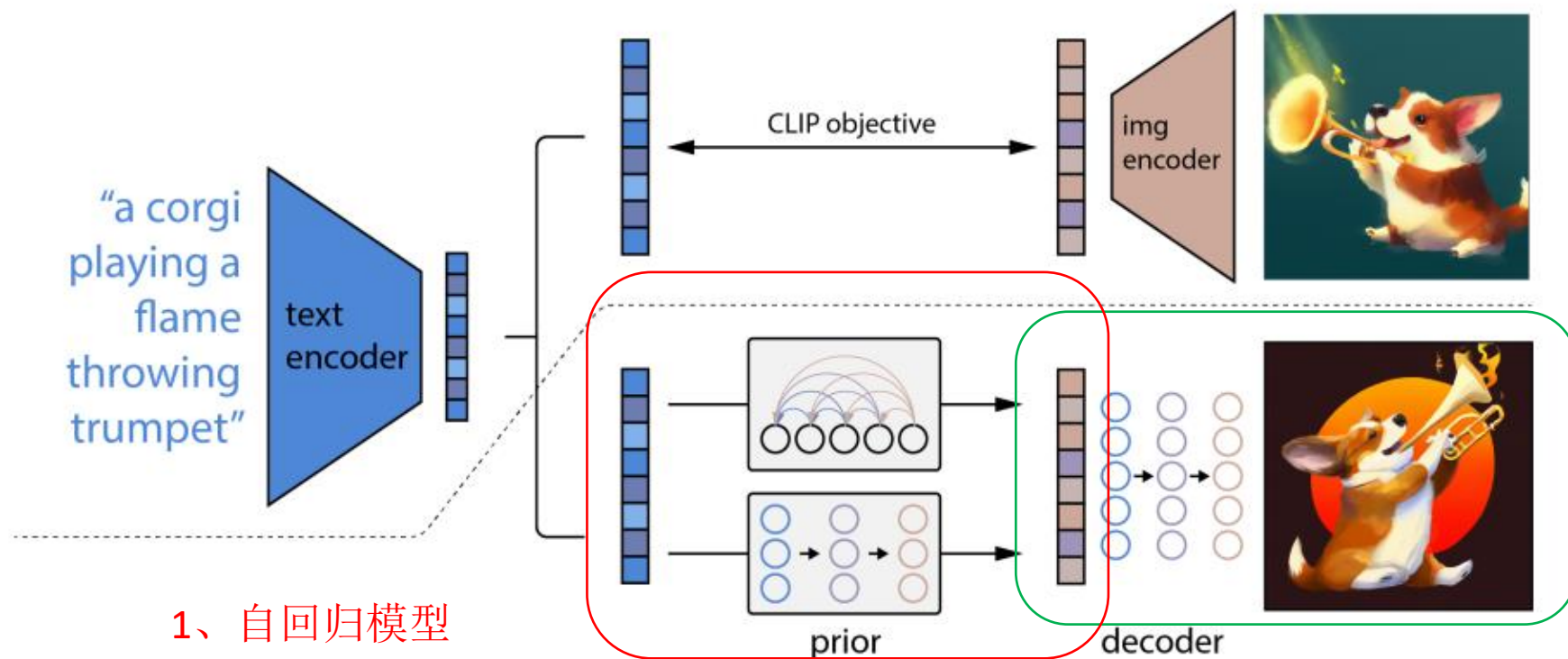


- CLIP：把文本和图像映到同一个空间中。如：英文单词dog 和狗的图片在CLIP 下的像是两个非常接近的向量。
 - 一个较为新颖的方法，有一定的技术推进性。
 - 开源代码参考，代码逻辑清晰可读性高
 - 训练数据大小为 84 G，近 300 万条训练数据
 - 6 节点 48 张 A100 大约需要 3 小时
 - 在多模态领域具有启发意义
- 开源项目 - OpenCLIP

$$\hat{\mu}_\theta(x_t|y) = \mu_\theta(x_t|y) + s \cdot \Sigma_\theta(x_t|y) \nabla_{x_t} \log p_\phi(y|x_t)$$

典型应用：文生图

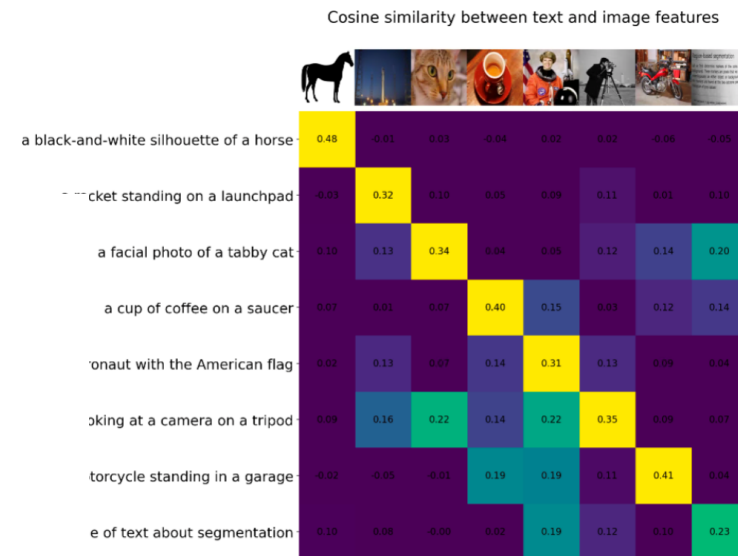
DALLE2: Hierarchical Text-Conditional Image Generation with CLIP Latents



1、自回归模型

2、Diffusion model

$$\hat{\mu}_{\theta}(x_t|c) = \mu_{\theta}(x_t|c) + s \cdot \Sigma_{\theta}(x_t|c) \nabla_{x_t} (f(x_t) \cdot g(c))$$



a teddy bear on a skateboard in times square

前沿应用：文生视频

文生视频PIKA1.0爆火，斯坦福华人学生退学创业，估值超2亿美元



机器之心 | + 关注

2023-11-30 15:10 北京 来源：澎湃新闻·湃客



字号▼

- 参考链接

<https://pika.art/blog>

OR,